

4

Métodos híbridos dos elementos de contorno

Neste capítulo, estão apresentados o método híbrido de tensões dos elementos de contorno (MHTEC) [4] e o método híbrido de deslocamentos dos elementos de contorno (MHDEC) [6].

4.1

Aproximações no contorno e no domínio

Do mesmo modo que no MCCEC, nos métodos híbridos dos elementos de contorno os deslocamentos e as forças de superfície são aproximados no contorno Γ pelas Equações (3-12) e (3-13), respectivamente [12].

No domínio Ω , a equação diferencial que governa o problema, expressa na Equação (2-6), é aproximada por

$$\sigma_{ji,j}^f = \sigma_{ji,j}^* + \sigma_{ji,j}^b \quad \text{em } \Omega \quad (4-1)$$

Assim, os deslocamentos, as tensões e as forças de superfície são aproximados, respectivamente, por

$$u_i^f = u_i^* + u_i^b \quad \text{em } \Omega \quad (4-2)$$

$$\sigma_{ij}^f = \sigma_{ij}^* + \sigma_{ij}^b \quad \text{em } \Omega \quad (4-3)$$

$$t_i^f = t_i^* + t_i^b \quad \text{em } \Gamma \quad (4-4)$$

em que u_i^b , σ_{ij}^b e t_i^b constituem uma solução particular qualquer da Equação (3-4) e u_i^* , σ_{ij}^* e t_i^* são a solução fundamental e as tensões e forças de superfície correspondentes, dados pelas Equações (2-19) a (2-21), respectivamente [12]. Tem-se, então, que

$$u_i^f = u_{im}^* p_m^* + u_{ir}^r C_{rm} p_m^* + u_i^b \quad (4-5)$$

$$\sigma_{ij}^f = \sigma_{ijm}^* p_m^* + \sigma_{ij}^b \quad (4-6)$$

$$t_i^f = t_{im}^* p_m^* + t_i^b \quad (4-7)$$

4.2

Método híbrido de tensões dos elementos de contorno

4.2.1

Equações matriciais que governam o problema

No método híbrido de tensões dos elementos de contorno (MHTEC) [4] aproximam-se tensões σ_{ij}^f no domínio Ω e deslocamentos u_i no contorno Γ , como esquematizado na Figura 4.1.

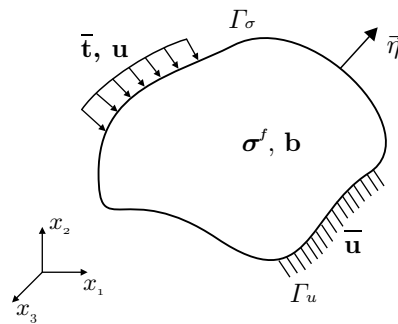


Figura 4.1: Aproximações do método híbrido de tensões dos elementos de contorno

Sua formulação origina-se da variação do potencial de Hellinger-Reissner

$$\begin{aligned}
 -\Pi_{HR}(\sigma_{ij}^f, u_i) = & \int_{\Omega} U_0^C(\sigma_{ij}^f) d\Omega + \int_{\Omega} (\sigma_{j i, j}^f + b_i) u_i d\Omega - \int_{\Gamma} t_i^f u_i d\Gamma \\
 & + \int_{\Gamma_{\sigma}} \bar{t}_i u_i d\Gamma \quad (4-8)
 \end{aligned}$$

em que U_0^C é a energia de deformação complementar. Esse potencial, função dos campos de tensões no domínio e deslocamentos no contorno, pode ser derivado a partir da expressão da energia potencial total estacionária generalizada através de integração por partes e aplicação do teorema da divergência, satisfazendo previamente as Equações (2-5) e (2-9) e considerando

$$U_0^C(\sigma_{ij}^f) = \sigma_{ij}^f \epsilon_{ij} - U_0(\epsilon_{ij}) \quad \text{em } \Omega \quad (4-9)$$

sendo $U_0(\epsilon_{ij})$ a energia de deformação.

Variando a Equação (4-8) e considerando que a porção do contorno Γ_u será identificada apenas após a formulação matricial do problema, ou seja,

$\Gamma_\sigma \equiv \Gamma$ e $\bar{t}_i \equiv t_i$, tem-se que

$$-\delta\Pi_{HR}(\sigma_{ij}^f, u_i) = \int_{\Omega} \delta U_0^C(\sigma_{ij}^f) d\Omega + \int_{\Omega} \delta\sigma_{ji,j}^f u_i d\Omega + \int_{\Omega} (\sigma_{ji,j}^f + b_i) \delta u_i d\Omega - \int_{\Gamma} \delta t_i^f u_i d\Gamma - \int_{\Gamma} t_i^f \delta u_i d\Gamma + \int_{\Gamma} t_i \delta u_i d\Gamma \quad (4-10)$$

Sabendo que

$$\delta U_0^C(\sigma_{ij}^f) = \delta\sigma_{ij}^f \epsilon_{ij}^f = \delta\sigma_{ij}^f u_{i,j}^f \quad (4-11)$$

e realizando as aproximações pelas Equações (3-12) e (3-13) no contorno e pelas Equações (4-5) a (4-7) no domínio, através de integração por partes e aplicação do teorema da divergência, chega-se à expressão para o primeiro termo integral da Equação (4-10)

$$\int_{\Omega} \delta U_0^C(\sigma_{ij}^f) d\Omega = \delta p_m^* \left[\left(\int_{\Gamma} t_{im}^* u_{in}^* d\Gamma - \int_{\Omega} \sigma_{jim,j}^* u_{in}^* d\Omega \right) p_n^* + \left(\int_{\Gamma} t_{im}^* u_{in} d\Gamma - \int_{\Omega} \sigma_{jim,j}^* u_{in} d\Omega \right) d_n^b + c_i^r \left(\int_{\Gamma} t_{im}^* d\Gamma - \int_{\Omega} \sigma_{jim,j}^* d\Omega \right) \right] \quad (4-12)$$

Considerando as Equações (2-27) e (2-28), chega-se então a

$$\int_{\Omega} \delta U_0^C(\sigma_{ij}^f) d\Omega = \delta p_m^* (F_{mn} p_n^* + H_{mn} d_n^b) \quad (4-13)$$

sendo

$$\mathbf{F} \equiv F_{mn} = \int_{\Gamma} t_{im}^* u_{in}^* d\Gamma + u_{mn}^* \quad (4-14)$$

e H_{mn} dada pela Equação (3-16).

Para os demais termos da Equação (4-10), obtém-se

$$\int_{\Omega} \delta\sigma_{ji,j}^f u_i d\Omega - \int_{\Gamma} \delta t_i^f u_i d\Gamma = -\delta p_m^* H_{mn} d_n \quad (4-15)$$

$$\int_{\Omega} (\sigma_{ji,j}^f + b_i) \delta u_i d\Omega - \int_{\Gamma} t_i^f \delta u_i d\Gamma = \delta d_m (-H_{nm} p_n^* - p_m^b) \quad (4-16)$$

$$\int_{\Gamma} t_i \delta u_i d\Gamma = \delta d_m p_m \quad (4-17)$$

sendo

$$p_m = \int_{\Gamma} t_i u_{im} d\Gamma \quad \text{e} \quad (4-18)$$

$$p_m^b = \int_{\Gamma} t_i^b u_{im} d\Gamma \quad (4-19)$$

carregamentos nodais equivalentes.

Assim, reescrevendo a Equação (4-10), chega-se a

$$-\delta\Pi_{HR} = \delta p_m^* [F_{mn} p_n^* - H_{mn} (d_n - d_n^b)] + \delta d_m [-H_{nm} p_n^* + (p_m - p_m^b)] \quad (4-20)$$

da qual, aplicando-se o princípio da estacionariedade do potencial, para quaisquer δp_m^* e δd_m , obtém-se

$$\mathbf{F} \mathbf{p}^* = \mathbf{H} (\mathbf{d} - \mathbf{d}^b) \quad (4-21)$$

$$\mathbf{H}^T \mathbf{p}^* = \mathbf{p} - \mathbf{p}^b \quad (4-22)$$

As Equações (4-21) e (4-22) são as expressões matriciais que governam o problema no MHTEC, a partir das quais se deriva uma matriz de rigidez na Seção 4.2.3.

A matriz \mathbf{F} , simétrica por construção, realiza uma transformação de flexibilidade sobre forças equilibradas \mathbf{p}^* do sistema interno. Como ambas as funções t_{im}^* e u_{in}^* são singulares para $r = 0$, dado pela Equação (2-31), os elementos de \mathbf{F} em que tais funções estão sendo avaliadas no ponto de aplicação de \mathbf{p}^* são indeterminados pela Equação (4-14). A obtenção desses valores é apresentada na próxima seção.

Na Figura 4.2, estão esquematizadas as relações de transformações presentes no MHTEC entre os parâmetros $(\mathbf{d} - \mathbf{d}^b)$, \mathbf{d}^* , \mathbf{p}^* e $(\mathbf{p} - \mathbf{p}^b)$. Também encontram-se representadas as bases ortonormais dos espaços ortogonais complementares de tais parâmetros.

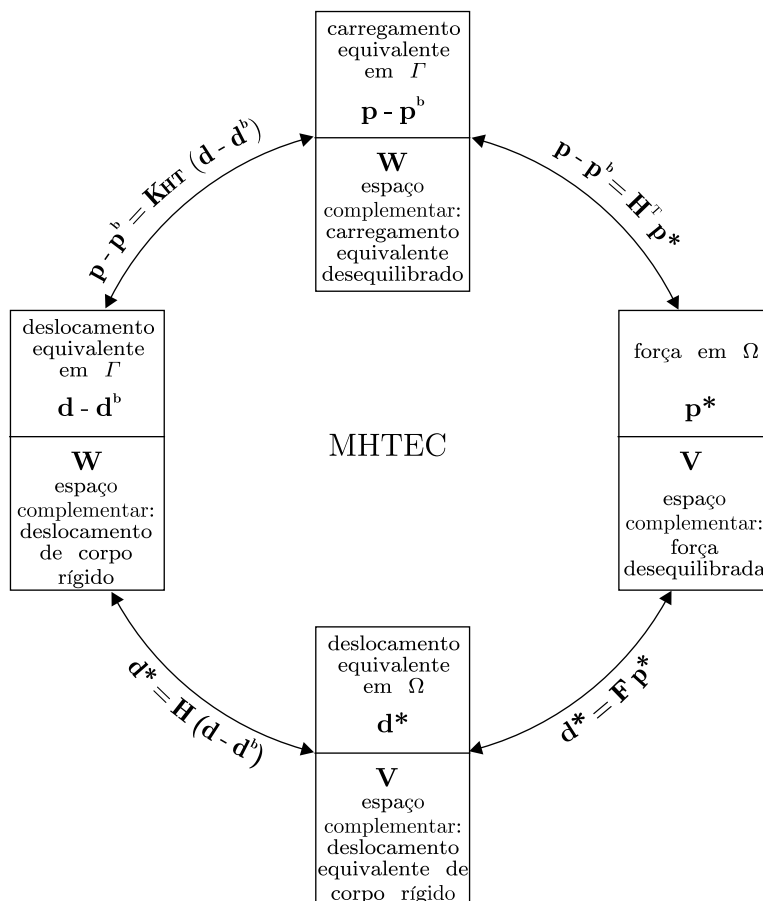


Figura 4.2: Transformações entre os parâmetros presentes no MHTEC

Nota-se que a Equação (4-21) expressa uma relação de compatibilidade de deslocamentos, em que as matrizes \mathbf{H} e \mathbf{F} transformam valores em deslocamentos equivalentes \mathbf{d}^* de um sistema interno. A Equação (4-22) expressa uma relação de equilíbrio de forças, em que a matriz \mathbf{H}^T transforma forças equilibradas \mathbf{p}^* do sistema interno em carregamento nodal equivalente.

4.2.2

Obtenção dos valores indeterminados de \mathbf{F} a partir de \mathbf{V}

Seja \mathbf{V} a base ortonormal das forças desequilibradas \mathbf{p}^* do sistema interno, já apresentada na Seção 3.5.1. Considerando a Equação (3-67) e a simetria de \mathbf{F} , para que a Equação (4-21) seja consistente à esquerda tem-se que

$$\mathbf{F} \mathbf{V} = \mathbf{F}^T \mathbf{V} = \mathbf{0} \tag{4-23}$$

ou seja, forças desequilibradas do sistema interno não devem ser transformadas em deslocamentos equivalentes do sistema interno. Assim, os elementos

indeterminados de \mathbf{F} podem ser obtidos pela resolução da Equação (4-23) por mínimos quadrados.

Para problemas de potencial, a base \mathbf{V} é um vetor e os valores indeterminados de \mathbf{F} ocorrem em sua diagonal principal. Considerando, então, que \mathbf{F} pode ser decomposta como

$$\mathbf{F} = \mathbf{F}_D + \mathbf{F}_{CD} \quad \text{ou} \quad F_{mn} = F_{D_{mn}} + F_{CD_{mn}} \quad (4-24)$$

sendo que

$$F_{D_{mn}} = \begin{cases} F_{mn} & \text{se } m = n \\ 0 & \text{caso contrário} \end{cases} \quad (4-25)$$

é uma matriz diagonal formada pelos elementos indeterminados de F_{mn} , pode-se, então, reescrever a Equação (4-23) como

$$F_{D_{mn}} V_n = -F_{CD_{mn}} V_n = A_m \quad (4-26)$$

Para cada elemento M de A_m , sabendo que

$$F_{D_{Mn}} V_n = F_{D_{MM}} V_M = F_{MM} V_M \quad (4-27)$$

já que $F_{D_{mn}}$ é uma matriz diagonal, obtém-se

$$F_{MM} = -\frac{F_{CD_{Mn}} V_n}{V_M} \quad (4-28)$$

sendo que o índice M não realiza soma implícita. Assim, desde que se conheça \mathbf{V} , os valores indeterminados de \mathbf{F} para problemas de potencial podem ser obtidos pela Equação (4-28).

No entanto, V_M pode adquirir valores muito pequenos ou nulos nos graus de liberdade M posicionados em concavidades e em contornos internos de domínios multiplamente conexos. Nesses casos, verifica-se que tanto A_M como V_M são muito pequenos ou nulos e portanto, o quociente da Equação (4-28) torna-se indeterminado, impossibilitando então a obtenção dos elementos F_{MM} por essa expressão, apesar da Equação (4-23) continuar válida. Esta indeterminação também pode ocorrer em alguns problemas envolvendo material com gradação funcional, em que V_M troca de sinal ao longo do contorno e portanto, também pode apresentar valores muito pequenos ou nulos.

De modo análogo ao apresentado, pode-se obter expressões similares à Equação (4-28) para problemas de elasticidade, para as quais também são verificadas essas indeterminações.

Na Seção 5.1.7, é apresentada uma relação alternativa à Equação (4-23), a partir da qual os elementos indeterminado de \mathbf{F} podem ser obtidos mesmo quando existem valores muito pequenos ou nulos em \mathbf{V} .

4.2.3 Matriz de rigidez

Substituindo a expressão de \mathbf{p}^* da Equação (4-21) na Equação (4-22), chega-se a

$$\mathbf{K}_{\text{HT}} (\mathbf{d} - \mathbf{d}^b) = \mathbf{p} - \mathbf{p}^b \quad (4-29)$$

sendo

$$\mathbf{K}_{\text{HT}} = \mathbf{H}^T \mathbf{F}^{(-1)} \mathbf{H} \quad (4-30)$$

a matriz de rigidez do MHTEC, simétrica por construção. A matriz $\mathbf{F}^{(-1)}$ é obtida a seguir.

Considere $\mathbf{V} \equiv V_{mr}$ uma base ortonormal do espaço das forças desequilibradas do sistema interno, tal que

$$\mathbf{V}^T \mathbf{V} = \mathbf{I} \quad (4-31)$$

Pode-se, portanto, definir um projetor ortogonal idempotente único para o espaço das forças desequilibradas do sistema auxiliar

$$\mathbf{P}_{\mathbf{V}} = \mathbf{V} \mathbf{V}^T \quad (4-32)$$

de propriedades conhecidas

$$\mathbf{P}_{\mathbf{V}} \mathbf{P}_{\mathbf{V}} = \mathbf{P}_{\mathbf{V}} \quad (4-33)$$

$$\mathbf{P}_{\mathbf{V}} \mathbf{V} = \mathbf{V} \quad (4-34)$$

Supondo o espaço das forças equilibradas ortogonal e complementar ao espaço das forças desequilibradas, tem-se que

$$\mathbf{P}_{\mathbf{V}}^{\perp} = \mathbf{I} - \mathbf{P}_{\mathbf{V}} = \mathbf{I} - \mathbf{V} \mathbf{V}^T \quad (4-35)$$

sendo $\mathbf{P}_{\mathbf{V}}^{\perp}$ o projetor ortogonal do espaço das forças equilibradas do sistema interno, de propriedades conhecidas

$$\mathbf{P}_{\mathbf{V}}^{\perp} \mathbf{P}_{\mathbf{V}}^{\perp} = \mathbf{P}_{\mathbf{V}}^{\perp} \quad (4-36)$$

$$\mathbf{P}_{\mathbf{V}}^{\perp} \mathbf{V} = \mathbf{0} \quad (4-37)$$

Deseja-se, então, obter a inversa generalizada $\mathbf{F}^{(-1)}$ que realiza a transformação inversa

$$\mathbf{F}^{(-1)} \mathbf{d}^* = \mathbf{P}_V^\perp \mathbf{p}^* \quad (4-38)$$

ou seja, que transforma deslocamentos equivalentes em forças equilibradas no sistema interno. Então, a matriz $\mathbf{F}^{(-1)}$ pode ser obtida pela resolução do sistema restrito

$$\begin{cases} \mathbf{F} \mathbf{P}_V^\perp \mathbf{p}^* = \mathbf{d}^* \\ \mathbf{P}_V \mathbf{p}^* = \mathbf{0} \end{cases} \quad (4-39)$$

para $\mathbf{P}_V^\perp \mathbf{p}^*$, chegando-se à inversa generalizada restrita ao seu próprio espaço

$$\mathbf{F}^{(-1)} = \mathbf{P}_V^\perp (\mathbf{F} \mathbf{P}_V^\perp + \mathbf{P}_V)^{-1} \quad (4-40)$$

ou inversa de Bott-Duffin [2], sendo $(\mathbf{F} \mathbf{P}_V^\perp + \mathbf{P}_V)$ uma matriz simétrica positiva definida.

Desde que os elementos indeterminados de \mathbf{F} possam ser obtidos segundo os procedimentos apresentados na Seção 4.2.2, a Equação (4-23) é válida. Assim, considerando também as Equações (4-35) e (3-67), pode-se reescrever a Equação (4-30) como

$$\mathbf{K}_{HT} = \mathbf{H}^T (\mathbf{F} + \mathbf{P}_V)^{-1} \mathbf{H} \quad (4-41)$$

4.2.4

Obtenção da base de forças desequilibradas do sistema interno \mathbf{V}

Como já apresentado na Seção 3.5.1, a base do espaço das forças \mathbf{V} do sistema interno pode ser obtida a partir da Equação (3-67), ou seja, pela obtenção do espaço nulo de \mathbf{H}^T .

Supondo que os parâmetros \mathbf{p} e \mathbf{p}^b representam as mesmas grandezas físicas que \mathbf{p}^* , tem-se que

$$\text{posto}(\tilde{\mathbf{V}}) = \text{posto}(\mathbf{W}) \quad (4-42)$$

sendo $\tilde{\mathbf{V}}$ uma base qualquer, não necessariamente normalizada do espaço das forças desequilibradas do sistema interno. Assim, supondo também que as bases ortonormais \mathbf{V} e \mathbf{W} pertencem a espaços não-ortogonais, pode-se obter \mathbf{W} pela projeção $\tilde{\mathbf{V}}$ no espaço dos deslocamentos de corpo rígido, ou seja,

$$\mathbf{P}_W \tilde{\mathbf{V}} = \mathbf{W} \quad (4-43)$$

Então, considerando também a Equação (3-67), a base $\tilde{\mathbf{V}}$ pode ser obtida

pela resolução do sistema de equações

$$(\mathbf{H}^T + \mathbf{P}_W) \tilde{\mathbf{V}} = \mathbf{W} \quad (4-44)$$

sendo $(\mathbf{H}^T + \mathbf{P}_W)$ uma matriz não-singular. A base \mathbf{V} pode então também ser obtida pela normalização de $\tilde{\mathbf{V}}$.

4.2.5

Propriedades de ortogonalidade e consistência das equações matriciais

As propriedades de ortogonalidade de \mathbf{H} estão apresentadas na Seção 3.5.1, nas Equações (3-66) e (3-67).

4.2.5.1

Propriedade de ortogonalidade de \mathbf{F}

Desde que os elementos indeterminados de \mathbf{F} possam ser obtidos com resíduo nulo segundo o procedimento apresentado na Seção 4.2.2, a propriedade de ortogonalidade expressa na Equação (4-23) é válida, ou seja, a matriz simétrica \mathbf{F} não realiza transformações sobre forças desequilibradas do sistema interno. Caso o resíduo não seja nulo, essa propriedade tende a ser satisfeita como o aumento da discretização do contorno.

4.2.5.2

Propriedades de ortogonalidade de \mathbf{K}_{HT} e $\mathbf{p} - \mathbf{p}^b$

Considerando a Equação (3-66) na Equação (4-30), tem-se que

$$\mathbf{K}_{HT} \mathbf{W} = \mathbf{0} \quad \text{e} \quad (4-45)$$

$$\mathbf{K}_{HT}^T \mathbf{W} = \mathbf{0} \quad (4-46)$$

ou seja, a matriz \mathbf{K}_{HT} não realiza transformações sobre deslocamentos de corpo rígido.

Supondo que os carregamentos nodais equivalentes \mathbf{p} e \mathbf{p}^b são obtidos pelas Equações (4-18) e (4-19) a partir de forças de superfície autoequilibradas, tem-se que

$$(\mathbf{p} - \mathbf{p}^b)^T \mathbf{W} = \mathbf{0} \quad (4-47)$$

4.2.5.3

Consistência de $\mathbf{F} \mathbf{p}^* = \mathbf{H} (\mathbf{d} - \mathbf{d}^b)$

Considerando a propriedade de ortogonalidade de \mathbf{F} apresentada na Seção 4.2.5.1 e a Equação (3-67), tem-se que ambas as parcelas da Equação (4-21) são ortogonais a \mathbf{V}^T à esquerda se o resíduo da Equação (4-23) for nulo.

4.2.5.4

Consistência de $\mathbf{H}^T \mathbf{p}^* = \mathbf{p} - \mathbf{p}^b$

Considerando as Equações (2-17) e (4-47), tem-se que ambas as parcelas da Equação (4-22) são ortogonais a \mathbf{W}^T à esquerda.

4.2.5.5

Consistência de $\mathbf{K}_{HT} (\mathbf{d} - \mathbf{d}^b) = (\mathbf{p} - \mathbf{p}^b)$

Considerando as Equações (4-45) a (4-47), tem-se que ambas as parcelas da Equação (4-29) são ortogonais a \mathbf{W}^T à esquerda.

4.2.6

Avaliação dos campos de deslocamentos e de tensões no domínio

A obtenção de deslocamentos e tensões no domínio no MHTEC é feita de modo análogo ao MHSTEC e está apresentada na Seção 5.1.6.

4.3

Método híbrido de deslocamentos dos elementos de contorno

4.3.1

Equações matriciais que governam o problema

No método híbrido de deslocamentos dos elementos de contorno (MHDEC) [6], aproximam-se deslocamentos u_i^f no domínio Ω e deslocamentos u_i e forças de superfície t_i no contorno Γ , como esquematizado na Figura 4.3.

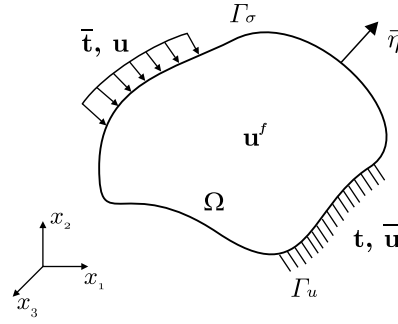


Figura 4.3: Aproximações do método híbrido de deslocamentos dos elementos de contorno

Sua formulação origina-se da variação do potencial

$$\Pi_{HD}(u_i^f, u_i, t_i) = \int_{\Omega} U_0(\epsilon_{ij}^f) d\Omega - \int_{\Omega} b_i u_i^f d\Omega - \int_{\Gamma_{\sigma}} \bar{t}_i u_i d\Gamma - \int_{\Gamma} t_i (u_i^f - u_i) d\Gamma \quad (4-48)$$

em que U_0 é a energia de deformação.

Variando a Equação (4-48) e considerando que a porção do contorno Γ_u será identificada apenas após a formulação matricial do problema, ou seja, $\Gamma_{\sigma} \equiv \Gamma$ e $\bar{t}_i \equiv t_i$, tem-se que

$$\delta\Pi_{HD}(u_i^f, u_i, t_i) = \int_{\Omega} \delta U_0(\epsilon_{ij}^f) d\Omega - \int_{\Omega} b_i \delta u_i^f d\Omega - \int_{\Gamma} \delta t_i (u_i^f - u_i) d\Gamma - \int_{\Gamma} t_i \delta u_i^f d\Gamma \quad (4-49)$$

Sabendo que

$$\delta U_0(\epsilon_{ij}^f) = \sigma_{ij}^f \delta \epsilon_{ij}^f = \sigma_{ij}^f \delta u_{i,j}^f \quad (4-50)$$

e realizando as aproximações pelas Equações (3-12) e (3-13) no contorno e pelas Equações (4-5) a (4-7) no domínio, através de integração por partes e aplicação do teorema da divergência, chega-se a

$$\begin{aligned} & \int_{\Omega} \delta U_0(\epsilon_{ij}^f) d\Omega - \int_{\Omega} b_i \delta u_i^f d\Omega = \\ & \delta p_m^* \left[\left(\int_{\Gamma} t_{in}^* u_{im}^* d\Gamma - \int_{\Omega} \sigma_{jin,j}^* u_{im}^* d\Omega \right) p_n^* + \right. \\ & \left. \left(\int_{\Gamma} t_{il} (u_{im}^* + u_{ir}^r C_{rm}) d\Gamma \right) t_l^b + c_i^r \left(\int_{\Gamma} t_{in}^* d\Gamma - \int_{\Omega} \sigma_{jin,j}^* d\Omega \right) \right] \quad (4-51) \end{aligned}$$

Do mesmo modo que no MCCEC, a Equação (3-10) também não é válida e não pode ser desprezada pois, devido à aproximação do campo de forças

de superfície, existem forças desequilibradas que realizam trabalho sobre deslocamentos de corpo rígido.

Considerando as Equações (2-27) e (2-28), chega-se a

$$\int_{\Omega} \delta U_0(\epsilon_{ij}^f) d\Omega - \int_{\Omega} b_i \delta u_i^f d\Omega = \delta p_m^* [F_{nm} p_n^* + (G_{ml} + C_{mr} R_{rl}) t_l^b] \quad (4-52)$$

sendo $F_{nm} \equiv \mathbf{F}$, $G_{ml} \equiv \mathbf{G}$ e $R_{rl} \equiv \mathbf{R}$ dadas pelas Equações (4-14), (3-17) e (3-21), respectivamente.

Para as demais parcelas da Equação (4-49), obtém-se

$$\int_{\Gamma} \delta t_i (u_i^f - u_i) d\Gamma = \delta t_l [(G_{lm} + R_{lr} C_{rm}) p_m^* - L_{lm} (d_m - d_m^b)] \quad (4-53)$$

$$\int_{\Gamma} t_i \delta u_i^f d\Gamma = \delta p_m^* (G_{ml} + C_{mr} R_{rl}) t_l \quad (4-54)$$

sendo $L_{lm} \equiv \mathbf{L}$ dada pela Equação (3-41).

Assim, reescrevendo a Equação (4-49), chega-se a

$$\begin{aligned} \delta \Pi_{HD} = & \delta p_m^* [F_{nn} p_n^* - (G_{ml} + C_{mr} R_{rl}) (t_l - t_l^b)] + \\ & \delta t_l [(G_{lm} + R_{lr} C_{rm}) p_m^* - L_{lm} (d_m - d_m^b)] \end{aligned} \quad (4-55)$$

da qual, aplicando-se o princípio da estacionariedade do potencial, para quaisquer δp_m^* e δt_l , obtém-se

$$\mathbf{F} \mathbf{p}^* = (\mathbf{G} + \mathbf{C}^T \mathbf{R}^T) (\mathbf{t} - \mathbf{t}^b) \quad (4-56)$$

$$(\mathbf{G}^T + \mathbf{R} \mathbf{C}) \mathbf{p}^* = \mathbf{L} (\mathbf{d} - \mathbf{d}^b) \quad (4-57)$$

A Equação (4-56) expressa uma relação de compatibilidade de deslocamentos, em que as matrizes \mathbf{F} e $(\mathbf{G} + \mathbf{C}^T \mathbf{R}^T)$ transformam valores em deslocamentos equivalentes \mathbf{d}^* do sistema interno. A Equação (4-57) também expressa uma relação de compatibilidade de deslocamentos, em que as matrizes $(\mathbf{G}^T + \mathbf{R} \mathbf{C})$ e \mathbf{L} transformam valores em deslocamentos equivalentes $\tilde{\mathbf{d}}$ do sistema auxiliar.

De modo análogo ao apresentado na Seção 3.2 para o MCCEC, a partir do critério dado pela Equação (3-31) obtém-se a Equação (3-32) para as constantes \mathbf{C} , a partir da qual pode-se reescrever as Equações (4-56) e (4-57) como

$$\mathbf{F} \mathbf{p}^* = \mathbf{G} \mathbf{P}_Z^\perp (\mathbf{t} - \mathbf{t}^b) \quad (4-58)$$

$$\mathbf{P}_Z^\perp \mathbf{G}^T \mathbf{p}^* = \mathbf{L} (\mathbf{d} - \mathbf{d}^b) \quad (4-59)$$

Considerando que apenas forças de superfície desequilibradas são transformadas nas equações acima, aplicando o princípio da contragradiência na Equação (3-44), chega-se a

$$\tilde{\mathbf{d}} = \mathbf{P}_Z^\perp \mathbf{L} (\mathbf{d} - \mathbf{d}^b) \quad (4-60)$$

Assim, pode-se pré-multiplicar a Equação (4-59) por \mathbf{P}_Z^\perp , chegando a

$$\mathbf{P}_Z^\perp \mathbf{G}^T \mathbf{p}^* = \mathbf{P}_Z^\perp \mathbf{L} (\mathbf{d} - \mathbf{d}^b) \quad (4-61)$$

As Equações (4-58), (4-61) e (3-44) são as expressões matriciais que governam o problema no MHDEC, a partir das quais se deriva uma matriz de rigidez na Seção 4.3.3.

Na Figura 4.4, estão esquematizadas as relações de transformações presentes no MHDEC entre os parâmetros $(\mathbf{d} - \mathbf{d}^b)$, \mathbf{d}^* , \mathbf{p}^* e $(\mathbf{p} - \mathbf{p}^b)$. Também encontram-se representadas as bases ortonormais dos espaços ortogonais complementares de tais parâmetros.

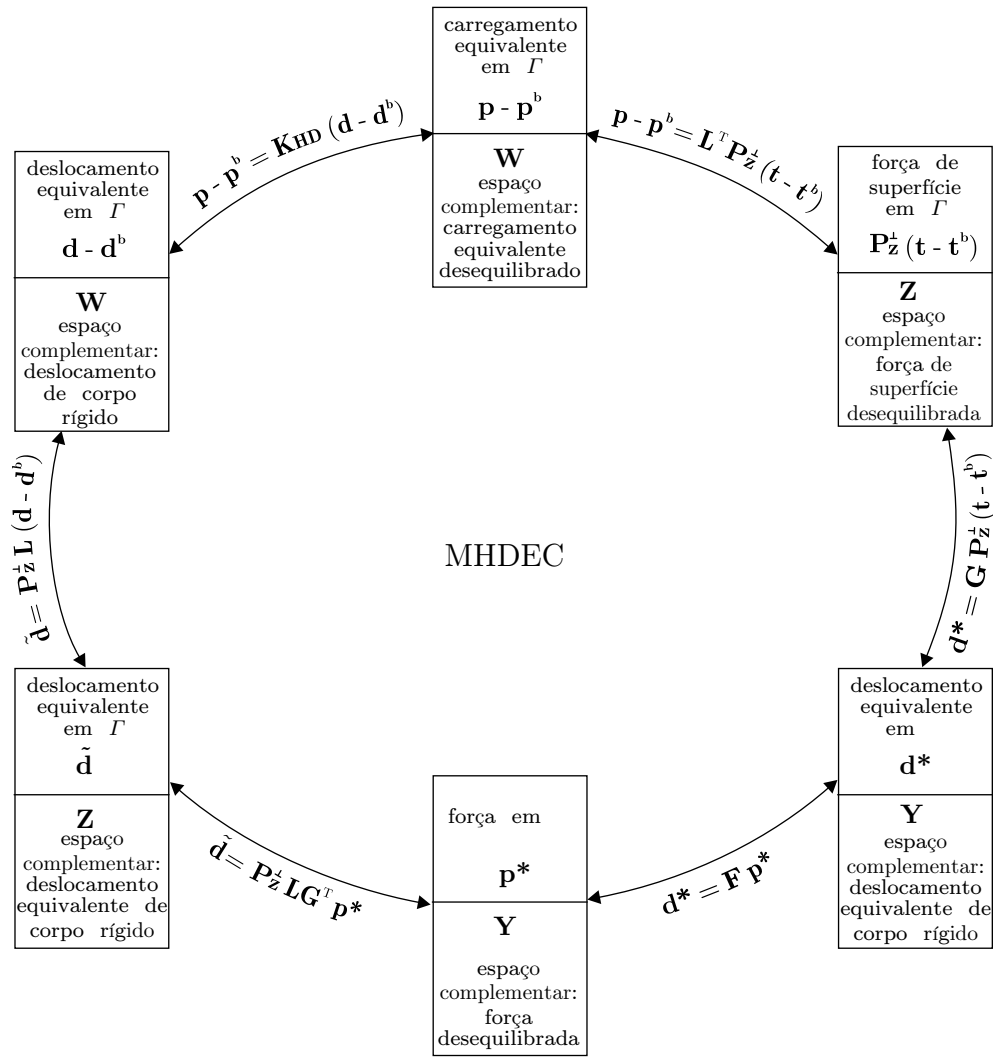


Figura 4.4: Transformações entre os parâmetros presentes no MHDEC

4.3.2 Obtenção dos valores indeterminados de F a partir de Y

Seja **Y** a base ortonormal das forças desequilibradas do sistema interno, já apresentada na Seção 3.5.2. De modo análogo ao apresentado na Seção 4.2.2, considerando a Equação (3-69) e a simetria de **F**, para que a Equação (4-58) seja consistente tem-se que

$$\mathbf{F} \mathbf{Y} = \mathbf{F}^T \mathbf{Y} = \mathbf{0} \tag{4-62}$$

ou seja, forças desequilibradas não devem ser transformadas em deslocamentos equivalentes no sistema interno.

Assim, os elementos indeterminados de **F** podem ser obtidos pela

resolução da Equação (4-62) por mínimos quadrados, chegando a

$$F_{MM} = -\frac{F_{CD_{Mn}} Y_n}{Y_M} \quad (4-63)$$

para problemas de potencial, sendo que o índice M não realiza soma implícita.

Analogamente ao MHTEC, para valores nulos ou muito pequenos de \mathbf{Y} não é possível obter os valores de indeterminados de \mathbf{F} pela Equação (4-62). Na Seção 5.2.6, é apresentada uma relação alternativa a essa, a partir da qual se espera que os elementos indeterminados de \mathbf{F} possam ser obtidos mesmo que \mathbf{Y} assumam valores muito pequenos ou nulos.

4.3.3

Matriz de rigidez

Isolando $\mathbf{P}_Z^\perp (\mathbf{t} - \mathbf{t}^b)$ da Equação (4-58), \mathbf{p}^* da Equação (4-61) e substituindo na Equação (3-44), chega-se a

$$\mathbf{K}_{HD} (\mathbf{d} - \mathbf{d}^b) = \mathbf{p} - \mathbf{p}^b \quad (4-64)$$

sendo

$$\mathbf{K}_{HD} = \mathbf{L}^T \mathbf{P}_Z^\perp (\mathbf{G} \mathbf{P}_Z^\perp)^{(-1)} \mathbf{F} (\mathbf{P}_Z^\perp \mathbf{G}^T)^{(-1)} \mathbf{P}_Z^\perp \mathbf{L} \quad (4-65)$$

a matriz de rigidez do MHDEC, em que $(\mathbf{G} \mathbf{P}_Z^\perp)^{(-1)}$ é obtida pela resolução do sistema restrito da Equação (3-48), que resulta na inversa dada pela Equação (3-49) para o caso em que $\mathbf{G} \mathbf{P}_Z^\perp$ é uma matriz quadrada.

Considere, então, que $\mathbf{Y} \equiv Y_{mr}$ é uma base ortonormal do espaço das forças desequilibradas do sistema auxiliar, tal que

$$\mathbf{Y}^T \mathbf{Y} = \mathbf{I} \quad (4-66)$$

Pode-se, portanto, definir um projetor ortogonal idempotente único para o espaço das forças desequilibradas do sistema interno

$$\mathbf{P}_Y = \mathbf{Y} \mathbf{Y}^T \quad (4-67)$$

de propriedades conhecidas

$$\mathbf{P}_Y \mathbf{P}_Y = \mathbf{P}_Y \quad (4-68)$$

$$\mathbf{P}_Y \mathbf{Y} = \mathbf{Y} \quad (4-69)$$

Supondo o espaço das forças equilibradas ortogonal e complementar ao espaço das forças desequilibradas, tem-se que

$$\mathbf{P}_Y^\perp = \mathbf{I} - \mathbf{P}_Y = \mathbf{I} - \mathbf{Y} \mathbf{Y}^T \quad (4-70)$$

sendo \mathbf{P}_Y^\perp o projetor ortogonal do espaço das forças equilibradas do sistema interno, de propriedades conhecidas

$$\mathbf{P}_Y^\perp \mathbf{P}_Y^\perp = \mathbf{P}_Y^\perp \quad (4-71)$$

$$\mathbf{P}_Y^\perp \mathbf{Y} = \mathbf{0} \quad (4-72)$$

Deseja-se, então, obter a inversa generalizada $(\mathbf{P}_Z^\perp \mathbf{G}^T)^{(-1)}$ que realiza a transformação inversa

$$(\mathbf{P}_Z^\perp \mathbf{G}^T)^{(-1)} \mathbf{d}^* = \mathbf{P}_Y^\perp \mathbf{p}^* \quad (4-73)$$

ou seja, que transforma deslocamentos equivalentes em forças equilibradas no sistema interno. Então, considerando as Equações (4-70) e (3-69), a matriz $(\mathbf{P}_Z^\perp \mathbf{G}^T)^{(-1)}$ pode ser obtida pela resolução do sistema restrito

$$\begin{cases} \mathbf{P}_Z^\perp \mathbf{G}^T \mathbf{P}_Y^\perp \mathbf{p}^* = \mathbf{P}_Z^\perp \mathbf{G}^T \mathbf{p}^* = \tilde{\mathbf{d}} \\ \mathbf{P}_Y \mathbf{p}^* = \mathbf{0} \end{cases} \quad (4-74)$$

para $\mathbf{P}_Y^\perp \mathbf{p}^*$. Caso $\mathbf{P}_Z^\perp \mathbf{G}^T$ seja uma matriz quadrada, chega-se à inversa generalizada restrita ao seu próprio espaço [2]

$$(\mathbf{P}_Z^\perp \mathbf{G}^T)^{(-1)} = \mathbf{P}_Y^\perp (\mathbf{P}_Z^\perp \mathbf{G}^T + \mathbf{P}_Y)^{-1} \quad (4-75)$$

sendo $(\mathbf{P}_Z^\perp \mathbf{G}^T + \mathbf{P}_Y)$ uma matriz não-singular.

Desde que os elementos indeterminados de \mathbf{F} possam ser obtidos com resíduo nulo segundo os procedimentos apresentados na Seção 4.3.2, a Equação (4-62) é válida. Assim, considerando também a Equação (3-27), pode-se reescrever a Equação (4-65) como

$$\mathbf{K}_{\text{HD}} = \mathbf{L}^T \mathbf{P}_Z^\perp (\mathbf{G} \mathbf{P}_Z^\perp + \mathbf{P}_Z)^{-1} \mathbf{F} (\mathbf{P}_Z^\perp \mathbf{G}^T + \mathbf{P}_Y)^{-1} \mathbf{P}_Z^\perp \mathbf{L} \quad (4-76)$$

Apesar de

$$(\mathbf{P}_Z^\perp \mathbf{G}^T)^{(-1)} \neq [(\mathbf{G} \mathbf{P}_Z^\perp)^{(-1)}]^T \quad (4-77)$$

pode-se provar que

$$(\mathbf{P}_Z^\perp \mathbf{G}^T)^{(-1)} \mathbf{P}_Z^\perp = \mathbf{P}_Y^\perp [(\mathbf{G} \mathbf{P}_Z^\perp)^{(-1)}]^T \quad (4-78)$$

e portanto, desde que a Equação (4-62) seja válida, pode-se reescrever a Equação (4-65) como

$$\mathbf{K}_{\text{HD}} = \mathbf{L}^T \mathbf{P}_{\mathbf{Z}}^{\perp} (\mathbf{G} \mathbf{P}_{\mathbf{Z}}^{\perp})^{(-1)} \mathbf{F} [(\mathbf{G} \mathbf{P}_{\mathbf{Z}}^{\perp})^{(-1)}]^T \mathbf{P}_{\mathbf{Z}}^{\perp} \mathbf{L} \quad (4-79)$$

4.3.4

Obtenção da base de forças desequilibradas do sistema auxiliar \mathbf{Y}

Como já apresentado na Seção 3.5.2, a base do espaço das forças \mathbf{Y} do sistema interno pode ser obtida a partir da Equação (3-69), ou seja, pela obtenção do espaço nulo de $\mathbf{P}_{\mathbf{Z}}^{\perp} \mathbf{G}^T$.

De modo análogo ao apresentado para o MHTEC, supondo que os parâmetros \mathbf{p} e \mathbf{p}^b representam as mesmas grandezas físicas que \mathbf{p}^* , tem-se que

$$\text{posto}(\tilde{\mathbf{Y}}) = \text{posto}(\mathbf{W}) \quad (4-80)$$

sendo $\tilde{\mathbf{Y}}$ uma base qualquer, não necessariamente normalizada, do espaço das forças desequilibradas do sistema interno. Assim, supondo também que as bases ortonormais \mathbf{Y} e \mathbf{W} pertencem a espaços não-ortogonais, pode-se obter \mathbf{W} pela projeção $\tilde{\mathbf{Y}}$ no espaço dos deslocamentos de corpo rígido, ou seja,

$$\mathbf{P}_{\mathbf{W}} \tilde{\mathbf{Y}} = \mathbf{W} \quad (4-81)$$

Então, considerando a Equação (3-69), a base $\tilde{\mathbf{Y}}$ pode ser obtida pela resolução dos sistemas de equações

$$(\mathbf{P}_{\mathbf{Z}}^{\perp} \mathbf{G}^T + \mathbf{P}_{\mathbf{W}}) \tilde{\mathbf{Y}} = \mathbf{W} \quad \text{e} \quad (4-82)$$

$$(\mathbf{G} \mathbf{P}_{\mathbf{Z}}^{\perp} \mathbf{G}^T + \mathbf{P}_{\mathbf{W}}) \tilde{\mathbf{Y}} = \mathbf{W} \quad (4-83)$$

para os casos em que $\mathbf{P}_{\mathbf{Z}}^{\perp} \mathbf{G}^T$ é uma matriz quadrada e retangular, respectivamente, sendo as matrizes $(\mathbf{P}_{\mathbf{Z}}^{\perp} \mathbf{G}^T + \mathbf{P}_{\mathbf{W}})$ e $(\mathbf{G} \mathbf{P}_{\mathbf{Z}}^{\perp} \mathbf{G}^T + \mathbf{P}_{\mathbf{W}})$ não-singulares. A base \mathbf{Y} pode então também ser obtida pela normalização de $\tilde{\mathbf{Y}}$.

Como na Equação (4-83) está implícita a Equação (3-69), resolvida por mínimos quadrados, a base \mathbf{Y} resultante é uma aproximação da base resultante da obtenção do espaço nulo de $\mathbf{P}_{\mathbf{Z}}^{\perp} \mathbf{G}^T$.

4.3.5

Propriedades de ortogonalidade e consistência das equações matriciais

As propriedades ortogonais de $\mathbf{G} \mathbf{P}_Z^\perp$ e $\mathbf{L}^T \mathbf{P}_Z^\perp$ estão apresentadas nas Seções 3.5.2 e 3.5.3, nas Equações (3-68) a (3-71). A propriedade de ortogonalidade de $(\mathbf{p} - \mathbf{p}^b)$ encontra-se apresentada na Equação (3-74) da Seção 3.5.4.

4.3.5.1

Propriedade de ortogonalidade de \mathbf{F}

De modo análogo ao MHTEC, desde que os elementos indeterminados de \mathbf{F} possam ser obtidos com resíduo nulo segundo o procedimento apresentado na Seção 4.3.2, a propriedade de ortogonalidade expressa na Equação (4-62) é válida, ou seja, a matriz simétrica \mathbf{F} não realiza transformações sobre forças desequilibradas do sistema interno. Caso o resíduo não seja nulo, essa propriedade tende a ser satisfeita como o aumento da discretização do contorno.

4.3.5.2

Propriedades de ortogonalidade de \mathbf{K}_{HD}

Considerando a Equação (3-71) na Equação (4-65), tem-se que

$$\mathbf{K}_{HD} \mathbf{W} = \mathbf{0} \quad e \quad (4-84)$$

$$\mathbf{K}_{HD}^T \mathbf{W} = \mathbf{0} \quad (4-85)$$

ou seja, a matriz \mathbf{K}_{HD} não realiza transformações sobre deslocamentos de corpo rígido.

4.3.5.3

Consistência de $\mathbf{F} \mathbf{p}^* = \mathbf{G} \mathbf{P}_Z^\perp (\mathbf{t} - \mathbf{t}^b)$

Considerando a propriedade ortogonal de \mathbf{F} apresentada na Seção 4.3.5.1 e a Equação (3-69), tem-se que ambas as parcelas da Equação (4-58) são ortogonais a \mathbf{Y}^T à esquerda se o resíduo da Equação (4-62) for nulo.

4.3.5.4

Consistência de $\mathbf{P}_Z^\perp \mathbf{G}^T \mathbf{p}^* = \mathbf{P}_Z^\perp \mathbf{L} (\mathbf{d} - \mathbf{d}^b)$

Considerando a Equação (3-28), tem-se que ambas as parcelas da Equação (4-61) são ortogonais a \mathbf{Z}^T à esquerda.

4.3.5.5

Consistência de $\mathbf{K}_{HD} (\mathbf{d} - \mathbf{d}^b) = (\mathbf{p} - \mathbf{p}^b)$

Considerando as Equações (4-85) e (3-74), tem-se que ambas as parcelas da Equação (4-64) são ortogonais a \mathbf{W}^T à esquerda.

4.3.6

Avaliação dos campos de deslocamentos e de tensões no domínio

No MHTEC, as tensões σ_{ij}^f são aproximadas no domínio e portanto, os deslocamentos correspondentes u_i^f são obtidos a menos de uma constante de corpo rígido, referente à solução da equação diferencial do problema. No entanto, no MHDEC, os deslocamentos u_i^f já são aproximados no domínio e portanto, não é necessária a consideração da parcela referente a deslocamentos de corpo rígido na Equação (4-5). Assim, os deslocamentos no domínio podem ser obtidos por

$$u_i^f = u_{im}^* p_m^* + u_i^b \quad (4-86)$$

e as tensões correspondentes a partir da Equação (4-6), sendo que $p_m^* \equiv \mathbf{p}^*$ pode ser obtido a partir da Equação (4-58) ou (4-61). Tem-se, então, que

$$\mathbf{p}^* = \mathbf{F}^{(-1)} \mathbf{G} \mathbf{P}_Z^\perp (\mathbf{t} - \mathbf{t}^b) \quad \text{ou} \quad (4-87)$$

$$\mathbf{p}^* = (\mathbf{P}_Z^\perp \mathbf{G}^T)^{(-1)} \mathbf{P}_Z^\perp \mathbf{L} (\mathbf{d} - \mathbf{d}^b) \quad (4-88)$$

sendo $(\mathbf{P}_Z^\perp \mathbf{G}^T)^{(-1)}$ dada pela Equação (4-75) e $\mathbf{F}^{(-1)}$ a matriz que realiza a transformação inversa

$$\mathbf{F}^{(-1)} \mathbf{d}^* = \mathbf{P}_Y^\perp \mathbf{p}^* \quad (4-89)$$

ou seja, que transforma deslocamentos equivalentes em forças equivalentes no sistema interno. De modo análogo ao apresentado na Seção 4.2.3 para o MHTEC, tem-se que

$$\mathbf{F}^{(-1)} = \mathbf{P}_Y^\perp (\mathbf{F} \mathbf{P}_Y^\perp + \mathbf{P}_Y)^{-1} \quad (4-90)$$

sendo $(\mathbf{F} \mathbf{P}_{\mathbf{Y}}^{\perp} + \mathbf{P}_{\mathbf{Y}})$ uma matriz não-singular. Se os valores indeterminados de \mathbf{F} forem obtidos com resíduo nulo pela Equação (4-62), pode-se então reescrever a equação acima como

$$\mathbf{F}^{(-1)} = \mathbf{P}_{\mathbf{Y}}^{\perp} (\mathbf{F} + \mathbf{P}_{\mathbf{Y}})^{-1} \quad (4-91)$$

Como a matriz inversa $(\mathbf{P}_{\mathbf{Z}}^{\perp} \mathbf{G}^T)^{(-1)}$ já é obtida quando do cálculo da matriz de rigidez, utiliza-se a Equação (4-88) para a obtenção de \mathbf{p}^* .

A Equação (4-88) pode ser usada também na obtenção de deslocamentos e tensões no domínio do MCCEC apresentada na Seção 4.2.6.